

О ПРЕССЕ СВЕРХВЫСОКОГО ДАВЛЕНИЯ

Е. И. Забабахин, И. Е. Забабахин

(Челябинск)

В статье изложена попытка понять принцип действия пресса сверхвысокого давления, описанного в [1]. Действие его сводится к концентрическому сдавливанию заостренных деталей, образующих при сжатии сплошной шар с высоким давлением в центре. В достижении эффекта большую роль играет самоупрочнение деталей пресса при сжатии.

Принципиальная возможность удержать сколь угодно высокое давление в материале конечной прочности известна давно. Возможность существования сверхпрочного сосуда видна, например, из [2] и состоит в следующем. Пусть материал толстостенной сферы всюду напряжен до

предела прочности, т. е. в каждой точке его наибольшее сдвиговое напряжение  $\tau$  равно прочности. Оно действует в плоскости, образующей угол  $45^\circ$  с радиусом, и при этом

$$(1) \quad \tau = (p - \sigma) / 2$$

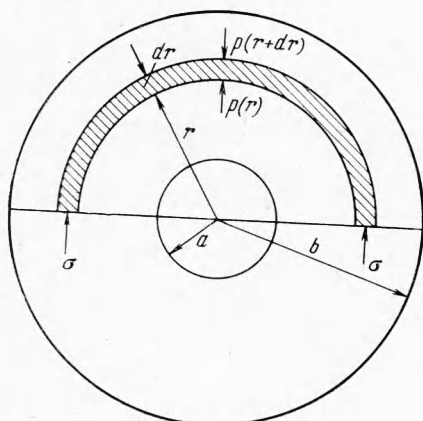
где  $p$  и  $\sigma$  — нормальные напряжения на сфере и радиальной плоскости.

Из условия равновесия элемента сосуда (полусферическая оболочка радиуса  $r$  и толщины  $dr$ ), заштрихованного на фиг. 1, следует:

$$2\pi r dr \sigma = \pi(r + dr)^2 p(r + dr) - \pi r^2 p(r)$$

откуда

$$2\sigma = r^{-1} d(p r^2) / dr$$



Фиг. 1

Подставив сюда  $\sigma$  из (1), получаем

$$(2) \quad dp / dr = -4\tau / r$$

откуда при постоянном  $\tau$

$$p(a) = 4\tau \ln b / a$$

При  $a \rightarrow 0$  давление расходится, но лишь логарифмически, т. е. слабо. Отметим, что  $p \rightarrow \infty$  означает и неограниченную плотность энергии в центре, т. е. принципиально новый пример неограниченной кумуляции, а именно кумуляции статической, не связанной ни с каким движением.

В действительности прочность не остается постоянной, а при сжатии обычно растет, и поэтому расходимость давления в центре может быть более сильной. Так, согласно [3] при давлении в 25 кбар прочность на сжатие для стали увеличивается на 18 кбар (от 29 до 47 кбар), а по [4]

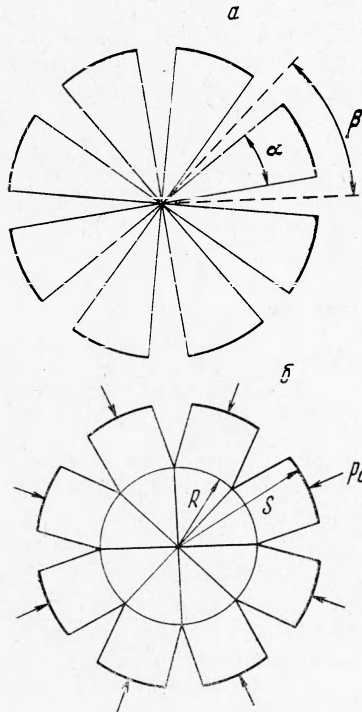
для алюминия при  $p = 0.5E$  ( $E$  — модуль Юнга) увеличивается примерно в 25 раз (несмотря на нагревание в ударной волне, с которой делались опыты).

Ниже описана схема и расчет устройства пресса сверхвысокого давления. Схема его подсказана рисунком в [1], аналогичный рисунок опубликован ранее в [5], но теории кумуляции, т. е. принципа действия, нет.

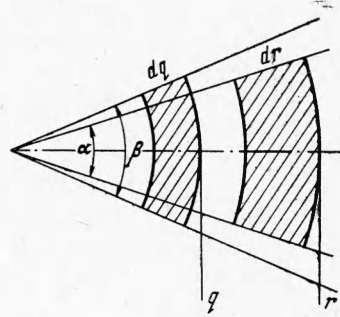
*Схема устройства и ее расчет.* Устройство представляет собой шар из множества узких пирамид, заполняющих его не сплошь, а со средней плотностью в  $K$  раз меньшей (фиг. 2, а).

При сдавливании такого пористого шара снаружи в его середине образуется сплошная зона сжатия, а угол при вершине пирамиды увеличивается от  $\alpha$  до  $\beta$  (фиг. 2, б).

Найдем распределение давления в зоне сжатия. Размеры элемента пирамиды  $\alpha, r, dr$  перейдут в  $\beta, q, dq$  (фиг. 3), при этом на его основании будет действовать давление  $p$ , а на боковые грани  $\sigma = p - 2\tau$ . Вычислим



Фиг. 2



Фиг. 3

его размеры, мысленно нагружая его сначала всесторонним давлением  $p$ , а затем уменьшая давление с боков на  $2\tau$ . Получим

$$(3) \quad q\beta = r\alpha\delta^{-1/2} [1 + 2\tau(1 - \mu) / E]$$

где  $E$  — модуль Юнга,  $\mu$  — коэффициент Пуассона и  $\delta = \rho / \rho_0$  — относительная плотность (она немного отличается от истинной  $\delta$ , так как боковое давление меньше радиального). Далее

$$dq = dr\delta^{-1/2}(1 - 4\tau\mu / E)$$

откуда

$$(4) \quad q = \int_0^r (1 - 4\tau\mu / E) \frac{dr}{\delta^{1/2}}$$

Ясно, что  $(\beta / \alpha)^2 = K$ . Подставляя сюда  $\beta / \alpha$  из (3) и  $q$  из (4), получим

$$\frac{r}{\delta^{1/2}} \left[ 1 + \frac{2\tau(1 - \mu)}{E} \right] = \sqrt{K} \int_0^r \left( 1 - \frac{4\tau\mu}{E} \right) \frac{dr}{\delta^{1/2}}$$

Заменяя  $\tau$  по (2), получаем

$$(5) \quad \frac{r}{\delta^{1/3}} \left[ 1 - \frac{1-\mu}{2E} r \frac{dp}{dr} \right] = \sqrt{K} \int_0^r \left( 1 + \frac{\mu}{E} r \frac{dp}{dr} \right) \frac{dr}{\delta^{1/3}}$$

Примем далее зависимость  $p$  от  $\delta$  в форме

$$(6) \quad p = 1/3 \rho_0 c_0^2 (\delta^3 - 1)$$

Модуль Юнга  $E = \rho c^2 3(1-2\mu)$ . Округляя  $\mu$  до  $1/3$ , получим  $E = \rho c^2$ . С ростом давления увеличивается  $\rho$ , а также скорость звука  $c$ , причем в данном случае (6)  $c \sim \rho$ , т. е. модуль Юнга растет как  $\rho^3$  или, пренебрегая небольшим отличием  $\delta$  от истинного сжатия, можно принять

$$(7) \quad E = E_0 \delta^3$$

где  $E_0$  — для ненагруженного материала.

Подставляя (6) и (7) в (5), получаем

$$(8) \quad \frac{r}{\delta^{1/3}} \left( 1 - \frac{r}{3\delta} \frac{d\delta}{dr} \right) = \sqrt{K} \int_0^r \left( 1 + \frac{r}{3\delta} \frac{d\delta}{dr} \right) \frac{dr}{\delta^{1/3}}$$

Решением этого уравнения является степенное распределение плотности  $\delta = A / r^n$ , где  $n$  должно удовлетворять уравнению, получаемому из (8)

$$(9) \quad (1 + n/3)^2 = \sqrt{K} (1 - n/3)$$

откуда при малой пористости

$$(10) \quad n \approx (K - 1) / 2$$

При  $K = 1$  (сплошной шар) получаем  $n = 0$ , т. е. концентрации давления в центре нет, если же  $K > 1$ , то давление к центру нарастает и тем сильнее, чем больше  $K$ , но величина  $K$  ограничена прочностью (см. ниже).

Определим величину  $A$  из условия, что на поверхности зоны сплошного сжатия элементы соседних пирамид соприкоснулись, но еще не давят друг на друга, т. е.  $\sigma(R) = 0$  или  $p(R) = 2\tau(R)$ . Подставляя сюда  $p(R) = 1/3 E_0 (A^3 / R^{3n} - 1)$  и  $\tau(R)$  по (2), получаем

$$(11) \quad A = R^{3n} / (1 - 3/2 n)$$

$$p(r) = \frac{E_0}{3} \left[ \frac{1}{1 - 3/2 n} \left( \frac{R}{r} \right)^{3n} - 1 \right]$$

$$(12) \quad \tau(r) = \frac{E_0}{4} \frac{n}{1 - 3/2 n} \left( \frac{R}{r} \right)^{3n}$$

При малой пористости эти формулы принимают вид

$$(13) \quad p(r) = \frac{E_0}{3} \left[ \frac{1}{1 - 3/4 (K-1)} \left( \frac{R}{r} \right)^{3(K-1)/2} - 1 \right]$$

$$(14) \quad \tau(r) = 1/8 E_0 (K-1) (R/r)^{3(K-1)/2}$$

При  $r \rightarrow 0$  давление  $p$  и касательное напряжение неограниченно растут и при том тем сильнее, чем больше  $K$ . Найдем размеры зон высокого давления, считая, что пресс не разрушается, т. е. что рост прочности опережает увеличение  $\tau$ . Вероятно, это может быть справедливо даже очень близко к центру, о чем говорит огромное давление (2 Мбар), достигнутое в японском прессе.

Из (13) и (14) получаем

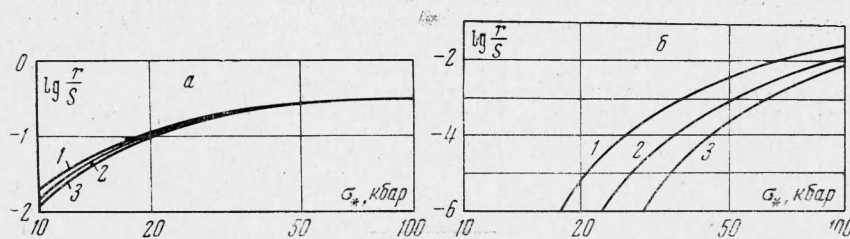
$$(15) \quad \tau = 1/8 (K - 1)(E_0 + 3p)$$

Выберем  $K$  таким, чтобы на границе зоны сплошного сжатия материал находился на пределе прочности, т. е. чтобы давление  $p$  было равно прочности на сжатие  $\sigma_*$ :  $p(R) = \sigma_*$ .

Подставляя это равенство в (15) и учитывая, что  $\tau(R) = \sigma_*/2$ , получим максимально допустимую пористость

$$(16) \quad K - 1 = 4\sigma_*/(E_0 + 3\sigma_*)$$

Подставляя (16) в (15), а также равенство  $p_0/\sigma_* = (S/R)^2$ , где  $p_0$  — давление жидкости, окружающей пресс радиуса  $S$  (зазоры между



Фиг. 4

пирамидами от жидкости закрыты, т. е. в них давление  $p_0$  не действует), после преобразования получаем

$$(17) \quad \lg \frac{r}{S} = \lg \sqrt{\frac{E_0}{\sigma_*} - \frac{E_0 + 3\sigma_*}{6\sigma_*}} - \frac{E_0 + 3p}{E_0 + 3\sigma_*}$$

(логарифмическая форма здесь удобна, так как  $r/S$  меняется в очень широких пределах).

Величина  $r/S$  зависит от четырех переменных —  $p_0$ ,  $E_0$ ,  $\sigma_*$  и  $p$ . Одну из них фиксируем, положив  $p_0 = 10$  кбар, т. е. считаем, что сосуд, охватывающий пресс, выдерживает это давление. Зависимость от остальных параметров показана на фиг. 4, на которой кривые 1, 2, 3 относятся к значениям  $E_0 = 1000, 2000, 5000$  кбар,  $p = 100$  кбар для  $a$  и  $p = 1000$  кбар для  $b$ .

Из фигуры видно, что очень высокие давления достижимы, но объемы, где они реализуются, малы (1 Мбар развивается при  $r/S = 2 \cdot 10^{-4}$ , т. е. в прессе с радиусом более 100 мм лишь при  $r = 0.02$  мм). Поэтому удивляет давление 2 Мбар, якобы достигнутое в японском прессе — оно развивается лишь при  $r/S = 10^{-7}$  или  $r = 10^{-5}$  мм.

При фиксированном  $E_0$  выгодна большая прочность  $\sigma_*$ , что естественно, но при той же прочности выгоден меньший модуль  $E_0$  (т. е. меньшая жесткость), что заранее предвидеть было трудно.

Радиус зоны сжатия  $R \sim \sqrt{p_0}$ , при этом распределения давлений и других величин по  $r$  подобны и отличаются лишь масштабом по  $r$ , т. е. все явление автомоделно.

По-видимому, реальное число пирамид может быть не очень большим: на схеме в [1] их всего восемь, а в наружной части сферы даже шесть.

Отметим, что инородный образец в центре прессы изменит распределение давления и оно будет нуждаться в новом расчете (которого в данной статье нет). Без этого оно может быть указано только по порядку величины.

Таким образом, из материала конечной прочности можно сделать устройство, развивающее и удерживающее в малом объеме большое, возможно, неограниченное давление. Оно может быть развито в системе согласованно сближающихся пирамид, где давление в центре расходуется по степенному закону и, вероятно, не ограничивается прочностью. Вопрос о физических ограничениях расходимости в центре пресса остается открытым.

Поступила 12 XI 1973

#### ЛИТЕРАТУРА

1. *Kawai Naoto*. Production of very high pressure. J. Japan High Pressure Inst., 1971, vol. 9, No. 3.
2. *Хилл Р.* Математическая теория пластичности. М., Гостехиздат, 1956.
3. Науки о земле. Справочник физических констант горных пород. М., «Мир», 1969, стр. 259.
4. *Новиков С. А., Синицына Л. М.* О влиянии давления ударного сжатия на величину критических напряжений сдвига в металлах. ПМТФ, 1970, № 6.
5. Современная техника высоких давлений. М., «Мир», 1964, стр. 200.